

УДК 537.226; 537.311.32; 538.956

©1993

**К ТЕОРИИ ЭЛЕКТРОННОЙ СТРУКТУРЫ  
АГРЕГАТНОГО ЦЕНТРА ОКРАСКИ  $F_2^+$   
В КРИСТАЛЛЕ LiF**

*A.M. Леушин, Н.В. Бородин*

Теоретически исследуется энергетический спектр одноэлектронного центра окраски  $F_2^+$  в кристалле LiF. Показано, что в рамках модели поляризующейся точечной решетки можно вполне удовлетворительно объяснить обусловленную этим центром полосу поглощения, если для волновых функций вакансационного электрона несколько расширить (по сравнению с другими щелочно-галоидными кристаллами) базисный набор используемых орбиталей.

В последние годы широкое применение получили перестраиваемые по частоте лазеры, активными элементами которых являются радиационно или аддитивно окрашенные щелочно-галоидные кристаллы (ШГК). Среди них наибольший интерес представляют кристаллы LiF с люминесцирующими электронными агрегатными центрами окраски  $F_2^+$ ,  $F_2$ ,  $F_2^-$  вследствие высокой даже при комнатной температуре стабильности центров и их способности не разрушаться под действием довольно интенсивной оптической накачки.

Вместе с тем кристаллы фтористого лития все еще остаются недостаточно изученной системой по сравнению с другими ШГК как в экспериментальном, так и особенно в теоретическом отношении. До сих пор нет удовлетворительного решения даже самой простой с теоретической точки зрения проблемы объяснения спектра поглощения одноэлектронного  $F_2^+$ -центра. Несмотря на то что общие положения теории, пригодной для рассмотрения электронной структуры центров окраски в ионных кристаллах, были разработаны уже давно (см., например, [1-3]), проведенные конкретные вычисления разности энергий возбужденного  $b_{1u}$  и основного  $a_g$  состояний  $F_2^+$ -центра обнаружили существенное отклонение ее от экспериментально наблюдаемой частоты максимума соответствующей полосы поглощения. В частности, в работе [4] в модели жесткой поляризующейся точечной решетки при рассмотрении в качестве центральной молекулы одного электрона, двигающегося в поле двух соседних анионных вакансий, расчеты привели к разности энергий  $E_{b_{1u}} - E_{a_g} = \Delta = 2.33$  эВ, значительно превышающей экспериментальную величину.  $\Delta_e = 1.92$  эВ [5]. Выполненные же на основе оптимизированных параметров одиноч-

вого  $F$ -центра [6] кластерные полуэмпирические вычисления [3] дали для  $\Delta$ , наоборот, слишком малое (1.47 эВ) значение.<sup>1</sup>

Цель настоящей работы — показать, что можно получить лучшее согласие теории с экспериментом, если в рамках подхода, использованного в [4], для описания поведения оптического электрона несколько расширить базисный набор. Дело в том, что в работе [4] пробные волновые функции электрона составлялись в виде линейных комбинаций атомных орбиталей (ЛКАО) и в качестве атомных орбиталей использовались орбитали только  $s$ -типа. Такой комбинации, по-видимому, достаточно для более или менее правильного воспроизведения свойств основного  $a_g$ -состояния, однако для обеспечения качественно правильной зависимости энергии возбужденного  $b_{1u}$ -терма от межвакансационного расстояния  $R$  его минимальный базисный набор атомных орбиталей должен содержать по крайней мере  $s$ - и  $p$ -орбитали [8]. Отсутствие  $p$ -орбитали, вероятно, не оказывается заметным образом, пока величины  $R$  достаточно велики [4] (KI, KBr, KCl, NaCl), но по мере уменьшения  $R$  может себя существенно проявить.

Поскольку электрон центра движется в кристаллическом поле с симметрией группы  $D_{2h}$ , нужные ЛКАО записывались в виде

$$\Psi_{a_g} = a_1(|s_1\rangle + |s_2\rangle) + a_2(|p_{1z}\rangle - |p_{2z}\rangle),$$

$$\Psi_{b_{1u}} = b_1(|s_1\rangle - |s_2\rangle) + b_2(|p_{1z}\rangle + |p_{2z}\rangle) \quad (1)$$

симметрийных орбиталей, преобразующихся по неприводимым представлениям, где  $|s_i\rangle, |p_{iz}\rangle$  — волновые функции  $s$ - и  $p$ -состояний, центрированных на  $i$ -й вакансии. Номера вакансий и ориентация общих для них координатных осей указаны на рис. 1. В качестве вакансационных  $|s\rangle$  и  $|p_z\rangle$  состояний использовались  $2s$  и  $2p$  слетеровские функции

$$|s\rangle = \sqrt{\frac{\alpha^5}{3\pi}} r \exp(-\alpha r), \quad |p_z\rangle = \sqrt{\frac{\beta^5}{\pi}} z \exp(-\beta r) \quad (2)$$

с первоначальными значениями параметров  $\alpha = 0.75$  и  $\beta = 0.526$ , служившими для описания поведения основного [6] и возбужденного [9] уровней  $F$ -центра в LiF. Молекулярные орбитали (1) и соответствующие им энергии находились из решения секулярного уравнения с гамильтонианом

$$\mathcal{H}_{\text{эфф}} = -\frac{1}{2}\Delta + V_{PI}, \quad (3)$$

где первый член представляет собой кинетическую энергию электрона;  $V_{PI} = -\sum_{\alpha} Q_{\alpha} / |\mathbf{r} - \mathbf{R}_{\alpha}|$  — оператор энергии взаимодействия электрона с идеальной точечной кристаллической решеткой, из которой удалены два

<sup>1</sup> Более или менее приемлемую величину  $\Delta = 1.7$  эВ удалось получить лишь в сильно упрощенной полуэмпирической молекулярной модели [7].

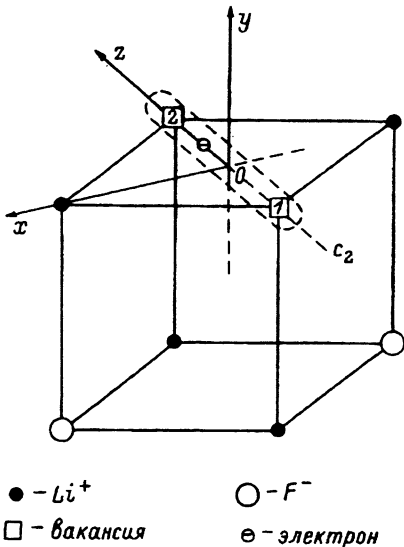


Рис. 1. Модель центра  $F_2^+$  в кристалле LiF.

Ось  $z$  общей системы координат направлена по оси цетра. Цифрами 1 и 2 обозначены номера вакансий в волновых функциях (1) и в выражении поля (4).

● —  $Li^+$   
□ — вакансия  
○ —  $F^-$   
ε — электрон

иона  $F^-$ ;  $r$  — радиус-вектор электрона;  $R_\alpha$  — радиус-вектор  $\alpha$ -го иона решетки, а  $Q_\alpha$  — его заряд.

В процессе всех вычислений  $2s$  и  $2p$  слетеровские функции (2) переводились на гауссовский базис с использованием таблиц работы [10], интегралы перекрывания и матричные элементы гамильтониана (3) вычислялись с помощью техники Такета, Хузинага, Охата [11]. Суммирование по решетке осуществлялось методом Эвьена и прекращалось после того, когда вклады всех последующих ячеек становились меньше чем  $10^{-5}$ .

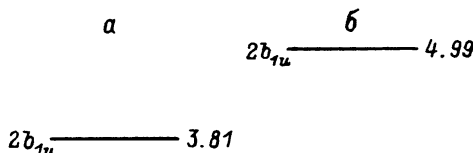
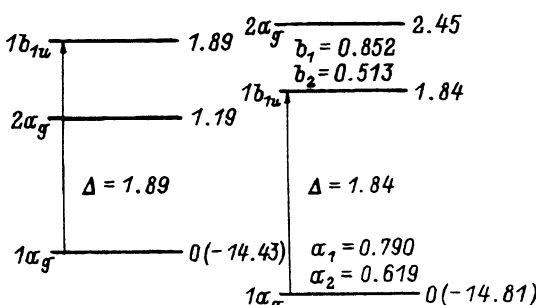


Рис. 2. Уровни энергии и волновые функции центра  $F_2^+$  в кристалле LiF.

$a$  — расчеты выполнены в модели жесткой точечной решетки с единным набором параметров  $\alpha$  и  $\beta$  пробных функций для обоих представлений, поляризация кристалла не учитывалась;  $b$  — при вычислениях учтена безынерционная поляризация кристалла, энергии основного и возбужденного состояний минимизировались различными наборами параметров  $\alpha$  и  $\beta$ . Величины энергий приведены в эВ. В круглых скобках у основных уровнях указаны абсолютные значения энергии,  $\Delta$  есть энергия поглощения центра, стрелка указывает происходящий при этом переход,  $a_1, \dots, b_2$  — коэффициенты волновых функций (1).



Результатирующие уровни энергии приведены на рис. 2,а. Несмотря на то что полученная с ними энергия поглощения  $\Delta = 1.89$  эВ удивительно хорошо соответствовала экспериментальному значению, проведенный расчет нас не удовлетворил. Во-первых, потому, что порядок расположения уровней ( $1a_g$ ,  $2a_g$ ,  $1b_{1u}$ ,  $2b_{1u}$  по возрастанию энергии) оказался несогласующимися с тем ( $1\sigma_g$ ,  $1\sigma_u$ ,  $2\sigma_g$ ,  $2\sigma_u$ ), который предсказывается моделью иона молекулы водорода  $H_2^+$ , успешно использующейся для интерпретации наблюдаемых оптических спектров аналогичных центров  $F_2^+$  в других, более рыхлых ШГК [12]. И если у нас есть основания полагать, что в кристалле LiF отличие реального потенциала кристаллического поля, действующего на электрон центра  $F_2^+$ , от осевого потенциала соответствующей модели  $H_2^+$  не слишком велико, то схемы уровней энергии обеих подходов по крайней мере в качественном отношении должны совпадать. Во-вторых, использование секулярного уравнения эквивалентно вариационной процедуре по коэффициентам волновых функций (1) и фактически воспроизводит поправки лишь первого порядка для сдвигов уровней энергий. Для получения более точных значений далее следовало бы проварировать функции (1) по параметрам  $\alpha$  и  $\beta$  слетеровских экспонент (2) с тем, чтобы найти минимальные энергии обоих участвующих в поглощении состояний. Наконец, необходимо иметь в виду, что заряженный центр существенно поляризует ионы окружения [4] и взаимодействие поляризованного кристалла с оптическим электроном, конечно, будет отлично от того, которое было учтено гамильтонианом (3).

В этой связи во втором варианте расчетов к гамильтониану (3) была добавлена энергия взаимодействия электрона с дипольными моментами  $P_\alpha$ , введенными на атомах окружения электрическим полем

$$E_\alpha = \frac{R_\alpha - R_1}{|R_\alpha - R_1|^3} + \frac{R_\alpha - R_2}{|R_\alpha - R_2|^3} + \nabla_r \int \frac{|\Psi(r)|^2}{|r - R_\alpha|} d\tau \quad (4)$$

двух галлоидных вакансий и электронного облака центра. В этом выражении  $R_1$  и  $R_2$  — радиусы-векторы соответствующих вакансий, а остальные величины ранее были уже определены. При нахождении дипольных моментов  $P_\alpha = \beta_\alpha E_\alpha$  использовались поляризуемости  $\beta_\alpha$  ионов  $Li^+$  и  $F^-$  в кристалле LiF [13] и все последующие вычисления опять проводились с точностью до  $10^{-5}$ . После диагонализации матриц секулярного уравнения энергии состояний  $a_g$  и  $b_{1u}$  превращались в функционалы от параметров  $\alpha$  и  $\beta$  исходных слетеровских экспонент. Нижние из энергий затем подвергались дальнейшей минимизации посредством варьирования функционалов относительно этих параметров.

В результате такой процедуры мы нашли, что минимальное значение энергии основного состояния  $1a_g$  реализуется при  $\alpha = 0.734$ ,  $\beta = 0.537$ , в то время как минимум энергии возбужденного состояния  $1b_{1u}$  соответствует значениям  $\alpha = 0.729$ ,  $\beta = 0.546$ . Полученные при этом уровня энергии и волновые функции приведены на рис. 2,б. Энергия оптического перехода  $\Delta = 1.84$  эВ, хотя и становится несколько меньше, чем в случае первоначального варианта (рис. 2,а), но все же по-прежнему достаточно хорошо (с точностью до 4%) согласуется с максимумом наблюдаемой полосы. Обращает на себя внимание также тот факт, что порядок расположения уровней сейчас не противоречит модели молекулярного иона

$\text{H}_2^+$ . Из коэффициентов волновых функций видно, что роль  $p$ -орбиталей действительно не мала, причем не только для возбужденного, но и для основного состояния. Если иметь в виду, что интеграл перекрывания  $s$ - и  $p$ -орбиталей не так велик (составляет по модулю всего 0.0193), то можно заключить, что основное состояние на  $\sim 38\%$ , а возбужденное на 26% состоит из  $p$ -орбитали.

В заключение следует сказать, что в рамках рассмотренного подхода дальнейшего прогресса теории, по-видимому, удастся достичь, если еще более расширить базисный набор, что мы и намереваемся в ближайшее время осуществить.

### Список литературы

- [1] Petrashen M.I., Abarenkov I.V., Berezin A.A., Evarestov R.A. // Phys. St. Sol. (b). 1970. V. 40. N 1. P. 9-29; N 2. P. 443-460.
- [2] Петрашень М.И., Абаренков И.В., Березин А.А., Эварестов Р.А. // Проблемы теоретической физики. Сб. статей. Л., 1974. В. 1. С. 208-262.
- [3] Эварестов Р.А., Котомин Е.А., Ермошкин А.Н. Молекулярные модели точечных дефектов в широкощелевых твердых телах. Рига: Зинатне, 1983. 287 с.
- [4] Березин А.А. // Вестник ЛГУ. 1968. Т. 4. С. 47-51.
- [5] Nahum J. // Phys. Rev. 1967. V. 158. N 3. P. 814-825.
- [6] Kotomin E., Shluger A. // Phys. St. Sol. (b). 1982. V. 109. N 1. P. 75-81.
- [7] Березин А.А. // Вестник ЛГУ. 1969. Т. 16. С. 53-57.
- [8] Грибов Л.А., Баранов В.И., Новосадов Б.К. Методы расчета электронно-колебательных спектров многоатомных молекул. М.: Наука, 1984. 326 с.
- [9] Gourary B.S., Adrian F.J. // Phys. Rev. 1957. V. 105. N 4. P. 1180-1192.
- [10] Stewart R.F. // J. Chem. Phys. 1970. V. 52. N 1. P. 431-438.
- [11] Taketa H., Huzinaga S., Ohata K.O. // J. Phys. Soc. Japan. 1966. V. 21. N 11. P. 2313-2324.
- [12] Aegerter M.A., Lüty F. // Phys. St. Sol. (b). 1971. V. 43. N 1. P. 245-261.
- [13] Ruffa A.R. // Phys. Rev. 1963. V. 130. N 4. P. 1412-1423.

Казанский  
государственный университет

Поступило в Редакцию  
17 февраля 1993 г.